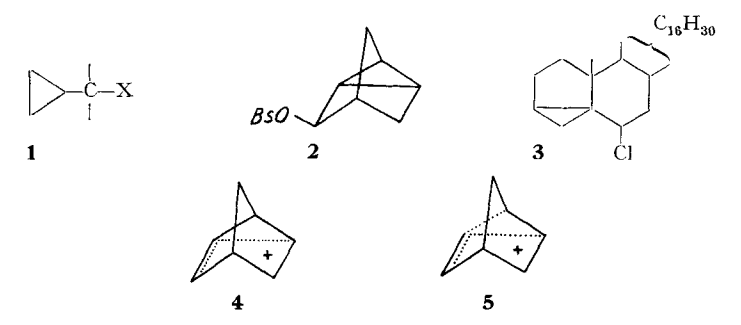
247. Multiple Homoallyl-Umlagerungen bei der Hydrolyse von 3,5-Dibrom-tricyclo [2,2,2,0^{2,6}] octanen

Bicyclo [2, 2, 2] octan-Reihe, 7. Mitteilung

von C. A. Grob und J. Hostynek

(23. VIII. 63)

Der Austritt eines Nucleofugs X^1) aus einem α -Cyclopropylcarbinyl-Derivat 1 kann durch den benachbarten Cyclopropanring beträchtlich erleichtert werden²), wie insbesondere Untersuchungen der Solvolyse von Nortricyclyl-p-brombenzolsulfonat (2, Bs = p-BrC₆H₄SO₂) und der stereoisomeren 3,5-Cyclocholestan-6-ylchloride (3) gezeigt haben.³) Diese anchimere Beschleunigung der Ionisierung wird mit der Bildung relativ stabiler mesomerer Homoallyl-Ionen wie 4 bzw. dessen symmetrische Variante 5 im Falle des Nortricyclylbrosylates (2) erklärt³).



Wie vor einiger Zeit berichtet wurde⁴), weisen auch die stereoisomeren 3,5-Dibrom-tricyclo[2,2,2,0^{2,6}]octane (6) und (7), welche durch homokonjugative Addition von Brom an Bicyclo [2,2,2]octa-2,5-dien (8) entstehen⁴)⁵), eine stark erhöhte solvolytische Reaktivität auf. So reagiert ein Gemisch von ca. 72% des trans-Isomeren 6 und ca. 28% des cis-Isomeren 7 in «80-proz.» Äthanol trotz dem verzögernden Einfluss des zweiten Bromatoms ca. 4·10² mal so schnell wie Cyclopentylbromid (9), dessen Bromatom ebenfalls an einem fünfgliedrigen, carbocyclischen Ring haftet⁴). Dieser Befund sprach für die Bildung der Homoallyl-Kationen 10a und 10b oder einer symmetrischeren Variante 11 (R oder R' = Br bzw. H) im Übergangszustand der Reaktion. Nach entsprechender Hydrolyse des intermediär auftretenden Bromhydrins könnten drei Arten von Diolen entstehen, nämlich 12, 13 und 14, je nachdem

¹⁾ D. h. eines Atoms oder einer Gruppe, welche mit dem bindenden Elektronenpaar austritt; vgl. J. Mathieu, A. Allais & J. Valls, Angew. Chem. 72, 71 (1960).

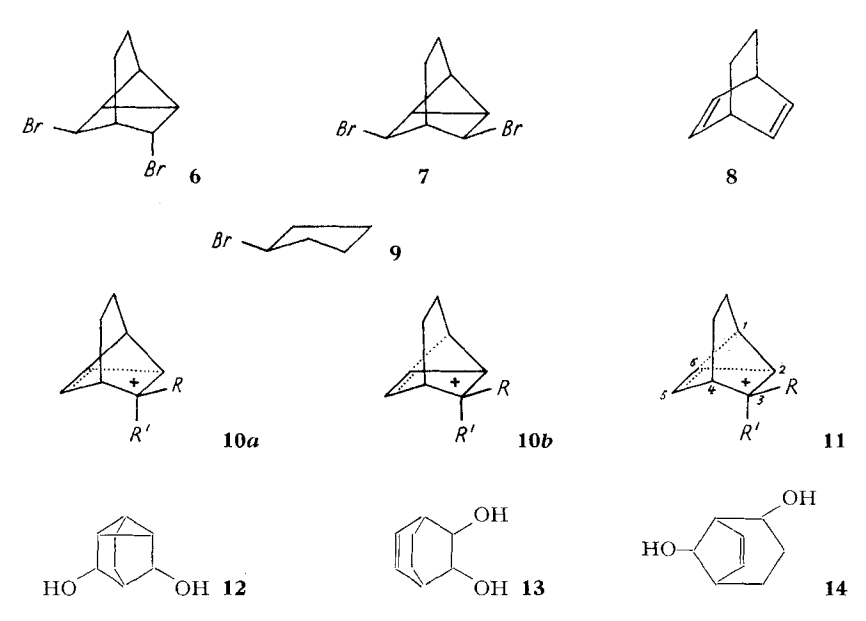
²) Zur Reaktivität von Cyclopropylcarbinyl-Derivaten, vgl. J. D. Roberts et al., J. Amer. chem. Soc. 81, 4390 (1959) und frühere Arbeiten.

³⁾ S. Winstein, Experientia, Supplementum II, 137 (1955); vgl. insbesondere die umfassende Diskussion von Homoallyl-Systemen bei S. Winstein & E. M. Kosower, J. Amer. chem. Soc. 81, 4399 (1959).

⁴⁾ A. GAGNEUX & C. A. GROB, Helv. 42, 1753 (1959).

⁵) C. A. Grob & J. Hostynek, Helv. 46, 1676 (1963).

die Koordination von Wasser an C-5, C-2, oder C-1 der Homoallyl-Ionen 10 bzw. 11 (R oder R' = OH bzw. H) erfolgt. Diese Homoallyl-Ionen sollten wiederum zu bestimmten Stereoisomeren der obigen Diole führen.



Tatsächlich führte die Hydrolyse der Dibromide 6 und 7 zu einem Gemisch von Diolen der Zusammensetzung $C_8H_{12}O_2$, welches sich mit den damals verfügbaren Methoden nicht auftrennen liess 4). Dies ist inzwischen mittels der neulich von Duncan 6) eingeführten präparativen Chromatographie an Kieselgel gelungen, so dass Struktur und Konfiguration der in grösserer Zahl entstehenden Diole bestimmt werden konnten. Diese Resultate erlauben es, die heutigen Vorstellungen über Natur und Reaktionsweise der kationischen Zwischenprodukte der Solvolyse von α -Cyclopropylcarbinyl-Derivaten 1 zu überprüfen und zu vertiefen.

Resultate

Wie Vorversuche zeigten, entsteht bei der Hydrolyse einer 0,1 m-Lösung der tricyclischen Dibromide 6 und 7 in 60-proz. wässerigem Aceton bei 70° ein anderes Produkt, je nachdem ob die entstehende Bromwasserstoffsäure durch zugesetzte Base, z. B. Triäthylamin, neutralisiert wird oder nicht. In schwach basischer Lösung entstand zunächst ein einziges Diol (Diol B), wie das Dünnschicht-Chromatogramm des Reaktionsproduktes zeigte. Bei längerer Verweilzeit in der Reaktionslösung wandelte sich der grösste Teil dieses Diols in 5 isomere Diole um, die sich durch vier weitere Flecke im Dünnschicht-Chromatogramm zu erkennen gaben. Wurde die Hydrolyse in Abwesenheit von Triäthylamin durchgeführt, so entstand direkt das obige Gemisch von mindestens 6 Komponenten, dessen Zusammensetzung sich nach weiterem Verweilen in der ca. 0,2 n HBr-sauren Reaktionslösung nicht mehr wesent-

⁶⁾ G. R. Duncan, J. Chromatography 8, 37 (1962). Wir danken Herrn Dr. G. R. Duncan für die Bekanntgabe dieser Methode vor der Veröffentlichung.

lich änderte. Diese Resultate konnten durch präparative Versuche bestätigt werden, indem nach 30-minütiger Reaktion in basischer Lösung ein einheitliches, stark hygroskopisches Diol B, nach gleicher Reaktionszeit in saurer Lösung ein Diolgemisch in 92-proz. Ausbeute isoliert wurde.

Die Auftrennung dieses Gemisches an einer Kieselgelsäule nach Duncan⁶) unter Verwendung von Chloroform-Isopropanol als mobile Phase lieferte fünf Fraktionen, von welchen vier aus den einheitlichen Diolen A, B, C und F bestanden (vgl. Tab. 1). Fraktion 4 enthielt ausser dem Diol D ca. 10% eines weiteren Diols E, welches nicht in reiner Form vom ersteren abgetrennt werden konnte. Diese Fraktionen sind in Tab. 1 in der Reihenfolge ihrer Eluierung aufgeführt.

Fraktion	Diol	proz. Anteil	Smp.
1	A	10	199–204° (Zers.)
2	\mathbf{B}	30	hygroskop.a)
3	C	15	237–239°
4	\mathbf{D}	21,5	234–235°
	E	2,5	b)
5	\mathbf{F}	21	203-204°

Tabelle 1. Chromatographie des Diolgemisches an Kieselgel

Für die 6 Diole kamen, wie erwähnt, in erster Linie die drei Strukturen 12, 13 und 14, welche jeweils wieder in stereoisomeren Formen auftreten können, in Frage. Dafür sprach das Resultat der katalytischen Hydrierung des ursprünglichen Diolgemisches über Platin in Äthanol oder Eisessig, bei welcher 0,51 Moläquivalent Wasserstoff aufgenommen wurde. Die ungesättigten Diole stellen somit ungefähr die Hälfte des Produktes dar. Nach der Isolierung der einzelnen Fraktionen zeigte sich auf Grund der IR.-Spektren und der Hydrierung, dass die Diole A, C und D ungesättigt, die Diole B, E und F gesättigt und somit tricyclisch sind. Die an Kieselgel nicht weiter auftrennbare Fraktion 4 nahm bei der Hydrierung 0,9 Moläquivalent Wasserstoff auf und bestand somit aus 90% des ungesättigten Diols D und 10% des tricyclischen Diols E.

Bei der Behandlung der ungesättigten Diole A, C und D mit Mangandioxid in Methylenchlorid entstanden keine anhand der UV.- und IR.-Absorption erkennbaren α,β -ungesättigten Carbonylverbindungen, was die Anwesenheit einer Allylalkohol-Teilstruktur ausschloss. Da zudem das Diolgemisch von Perjodsäure bei 20° in 80-proz. Essigsäure nach SIGGIA 7) nicht merklich angegriffen wurde, konnte das Vorliegen von vicinalen cis-Diolen ausgeschlossen werden. Die Struktur- und Konfigurationsbestimmung der drei ungesättigten und der drei gesättigten Diole wird im folgenden gesondert beschrieben.

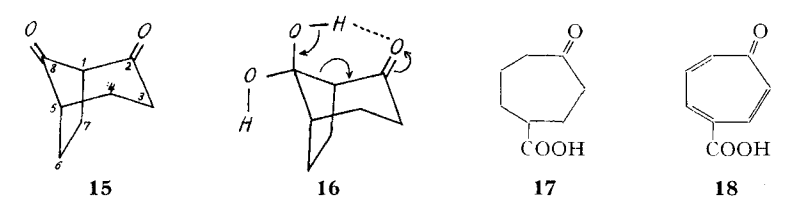
Die ungesättigten Diole A, D und C. Diese drei Diole gingen durch Hydrierung über Platin in Äthanol in die entsprechenden kristallisierten Dihydrodiole A (Smp. 259–261°), D (Smp. 263–266°) und C (Smp. 278–279°) über, deren IR.-Spektren die in den ursprünglichen Diolen vorhandenen Banden der cis-Doppelbindungen bei 3,28 μ bzw. 13,8–14,1 μ nicht mehr aufwiesen. Bei der Oxydation mit Chrom-

a) Smp. des Bis-2,4-dinitrobenzoats 228-229°; b) Nicht abtrennbar von Diol D.

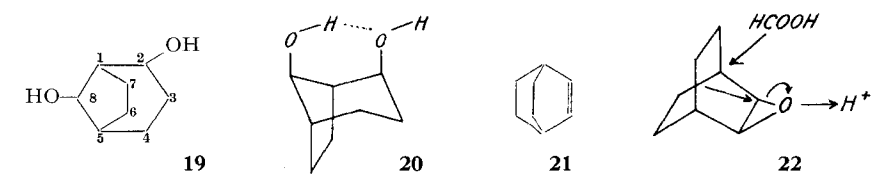
⁷⁾ S. Siggia, «Quantitative organic Analysis», 1958, S. 16.

Schwefelsäure in Aceton⁸) ergaben die Dihydrodiole A und D dasselbe instabile Diketon $C_8H_{10}O_2$, dessen IR.-Spektrum die Banden zweier Carbonylgruppen bei 5,70 und 5,86 μ von gleicher Intensität aufwies. Dihydrodiol A und D sind somit Stereoisomere. Bereits in feuchtem Äther, rascher aber in soda-alkalischer Lösung, ging das Diketon unter Aufnahme von Wasser in eine Ketosäure $C_8H_{12}O_3$ über.

Dieser Befund sprach für das Vorliegen eines β -Diketons, dessen Carbonylgruppen wie im Bicyclo[3,2,1]octan-2,8-dion (15) einem 5- bzw. 6-gliedrigen Ring angehören und das in Form des Hydrates 16 eine Retro-Claisen-Reaktion zu Cycloheptan-4-on-carbonsäure (17) erleidet. Diese noch unbekannte Säure entstand



auch durch Hydrierung der bekannten Cycloheptatrien-4-on-carbosäure (18). Die Leichtigkeit dieser «Säurespaltung» des Diketons 15 wird verständlich, wenn eine Wasserstoffbrücke zwischen einer der beiden Hydroxylgruppen und der Carbonylgruppe im Hydrat gemäss 16 angenommen wird. Die Dihydrodiole A und D sind somit Stereoisomere des Bicyclo[3, 2, 1]octan-2,8-diols (19).



Die syn-Konfiguration 20 der Verbindung 19 ist kürzlich von KWART & GATOS ¹⁰) einem Diol vom Smp. 255–257° zugeschrieben worden, welches durch Umsetzung von Bicyclo[2, 2, 2]oct-2-en (21) mit Perameisensäure und anschliessende Hydrolyse erhalten wird. Da das Diol nicht mit Perjodsäure reagierte, wurde angenommen, dass das zunächst gebildete Epoxid gemäss 22 zum Formiat des 1,3-Diols 19 umgelagert wird. Diesem wurde die syn-Konfiguration 20 zugeordnet, weil dessen IR.-Spektrum ausser der Bande einer freien Hydroxylgruppe diejenige einer starken, intramolekular assoziierten Hydroxylgruppe aufwies. WALBORSKY & LONCRINI ¹¹), welche die obige Epoxidierung von Bicycloocten 21 als erste untersucht hatten, isolierten ein Diol C₈H₁₄O₂ vom Smp. 261–262°, das sie als Produkt der normalen Öffnung des Epoxidringes, nämlich als trans-Bicyclo[2, 2, 2]octan-2, 3-diol (23) formulierten. Diese Zuordnung basierte vor allem auf der Bildung von cis-Cyclohexan-1,4-dicarbonsäure (24) bei der Oxydation des Diols mit Salpetersäure.

In Anbetracht der unterschiedlichen Resultate der obigen Autoren und der Möglichkeit, dass die betreffenden Diole trotz ihrer tieferen Smp. mit Dihydrodiol A

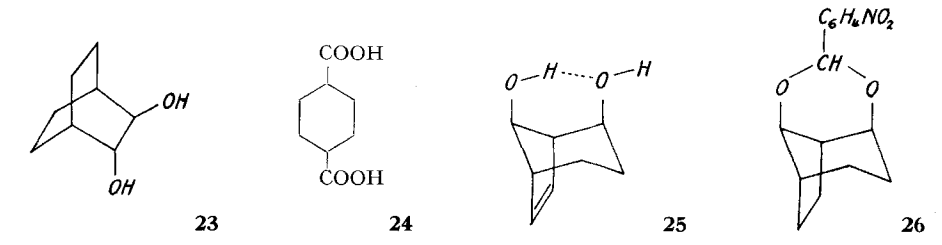
⁸⁾ K. Bowden, I. M. Heilbron, E. R. H. Jones & B. C. L. Weedon, J. chem. Soc. 1946, 39.

⁹⁾ J. R. Bartels-Keith, A. W. Johnson & A. Langemann, J. chem. Soc. 1952, 4461.

¹⁰) H. KWART & G. C. GATOS, J. Amer. chem. Soc. 80, 881 (1958).

¹¹⁾ H. M. Walborsky & D. F. Loncrini, J. Amer. chem. Soc. 76, 5396 (1954).

oder D bzw. mit Dihydrodiol C identisch sein könnten, wurde die Epoxidierung von Bicycloocten 21 nach den Angaben von Walborsky & Loncrini mit Wasserstoffperoxid und Ameisensäure wiederholt. Das Dünnschicht-Chromatogramm des kristallinen Reaktionsproduktes zeigte, dass hauptsächlich drei Substanzen anwesend waren. Diese liessen sich durch Chromatographie an einer Kieselgel-Säule⁶) glatt auftrennen. Die erste Substanz vom Smp. 259–261° (47%) war identisch mit Dihydrodiol A. Die zweite Substanz vom Smp. 278–279° (23%) war mit Dihydrodiol C identisch und lieferte bei der Oxydation mit Chrom-Schwefelsäure cis-Cyclohexan-1,4-dicarbonsäure (24). Die dritte und polarste Substanz war ein unbekanntes



Triol C₈H₁₄O₃ vom Smp. 299–301°, welches noch untersucht werden soll. Die saure Ringöffnung des Bicycloocten-epoxids (22) nimmt somit sowohl den von Kwart & Gatos ¹⁰) als auch den von Walborsky & Loncrini ¹¹) postulierten Verlauf. Doch dürften die von diesen Autoren isolierten Diole den tieferen Schmelzpunkten nach uneinheitlich gewesen sein. Es schien daher ratsam, die Konfigurationen 20 und 23 der Dihydrodiole A und C mittels der IR.-Spektren zu überprüfen. Zudem war noch die Konfiguration des mit Dihydrodiol A stereoisomeren Dihydrodiols D zu ermitteln.

Die IR.-Spektren des Diols A und des entsprechenden Dihydroderivates wiesen sowohl die Bande einer freien Hydroxylgruppe als auch die konzentrationsunabhängige Bande einer intramolekular assoziierten Hydroxylgruppe mit einer Frequenzverschiebung $\Delta \nu$ von 118 bzw. 101 cm⁻¹ auf (vgl. Tab. 2). Eine Wasserstoffbrücke zwischen den Hydroxylgruppen an C-2 und C-8 ist aber nur möglich, wenn diese Verbindungen die syn-Konfiguration 25 bzw. 20 besitzen. Diese Zuordnung konnte durch Überführung des Dihydrodiols A in das p-Nitrobenzylidenacetal 26 und seine Rückbildung bei der sauren Hydrolyse bestätigt werden. Diol A ist somit als Bicyclo[3,2,1]oct-6-en-2-exo-8-exo-diol (25) zu formulieren.

Im Falle des strukturgleichen Diols D war die IR.-Bande der intramolekular assoziierten OH-Gruppe bedeutend schwächer und um ca. 32 cm^{-1} gegenüber derjenigen der freien OH-Gruppe verschoben (Tab. 2). Wie für intramolekulare Wasserstoffbrücken zur olefinischen Doppelbindung charakteristisch ist 12) 13), war diese Bande nach der Hydrierung zum Dihydrodiol D nicht mehr vorhanden. Die OH-Gruppe an C-8 ist somit *anti*-ständig in bezug auf die OH-Gruppe an C-2 und wie in **27** gegen die Doppelbindung zu orientiert. Das IR.-Spektrum von Dihydrodiol D weist sowohl die für eine äquatoriale OH-Gruppe in Bicyclo[3, 2, 1] octan typische Bande bei 9,45 μ als auch die für eine 2-exo-(axiale) OH-Gruppe charakteristischen

¹²⁾ P. VON R. SCHLEYER, D. S. TRIFAN & R. BACSKAI. J. Amer. chem. Soc. 80, 6691 (1958).

¹³) Vgl. die Übersicht von M. TICHY, Chem. Listy 54, 506 (1960).

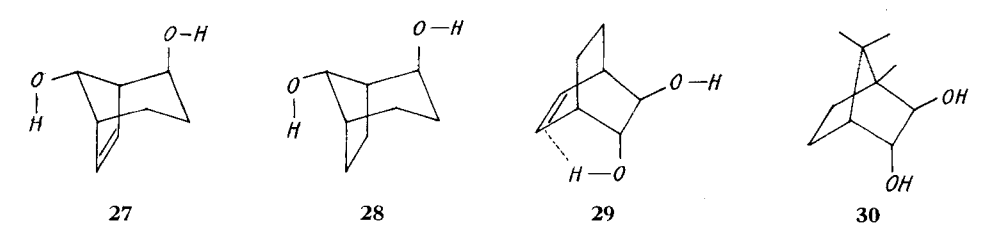
Banden bei 9,10, 9,23, 9,73 und 9,95 μ auf ¹⁴). Dihydrodiol D besitzt somit die 2-exo-8-endo-Konfiguration **28**. Diol D ist daher als Bicyclo[3,2,1]oct-6-en-2-exo-8-endo-diol (**27**) zu formulieren, was mit der unten diskutierten Bildungsweise dieses Diols in Einklang steht.

Tabelle 2.	IRAbsorption	der Diole	bzw. Dihydrodiole	in CCl ₄
------------	--------------	-----------	-------------------	---------------------

		$v(\mathrm{OH})_{\mathtt{frei}}$	$\nu(\mathrm{OH})_{\mathrm{assoz.}}{}^{\mathrm{a}})$	Δv	$arepsilon_{ ext{frei}}/arepsilon_{ ext{assoz.}^{ ext{b}}})$
Diol A		3621	3503	118	< 1
Dibyd	rodiol A	3632	3531	101	< 1
Diol F		3630	3546	84	< 1
Diol C		3627	3606	21	> 1
Dihyd	rodiol C	3633	_		·
Diol L		3628	3596	32	> 1
Dihyd	rodiol D	3633	_		
Diol F		3630	3572°)	58	> 1

a) Intensität konzentrationsunabhängig in $4\cdot 10^{-3}$ bis 10^{-3} M Lösung.

d) Vgl. L. P. Kuhn, J. Amer. chem. Soc. 74, 2492 (1952).



Diol C wies ebenfalls die IR.-Bande einer schwachen, intramolekular assoziierten OH-Gruppe mit $\Delta v = 21$ auf, welche im Dihydrodiol C nicht mehr auftrat (Tab. 2) und somit ebenfalls einer internen Wasserstoffbrücke zu einer Doppelbindung zugeschrieben werden muss. Die bekannte *cis*-Form von Bicyclo[2, 2, 2]octan-2, 3-diol (13)¹¹) weist hingegen starke, intramolekulare Assoziation der Hydroxylgruppe mit $\Delta v = 130$ cm⁻¹ auf, so dass Dihydrodiol C als *trans*-Bicyclo[2, 2, 2]oct-5-en-2, 3-diol (29) zu formulieren ist. Im Einklang damit reagiert das Dihydrodiol C äusserst langsam mit Perjodsäure bei 20°. Bei 80° und pH 2,12 betrug die RG.-Konstante zweiter Ordnung ca. 2,6 Mol⁻¹ l Min.⁻¹. Sie entspricht der Grössenordnung nach der von Angyal & Young¹⁵) gemessenen RG.-Konstante von *trans*-Camphan-2,3-diol (30), eine Verbindung, in welcher die vicinalen OH-Gruppen ebenfalls einen projizierten Winkel von ca. 120° bilden.

Die tricyclischen Diole B, E und F. Wie erwähnt, kam für die gesättigten Diole B, E und F, welche zu ca. 50% im Diolgemisch vertreten sind, die Struktur eines Tricyclo[2,2,2,0^{2,6}]octan-3,5-diols (12) in Frage. Letzteres kann in 3 stereoisomeren Formen, nämlich einer endo-cis (31), einer exo-cis (32) und einer rac.-trans-Form 33

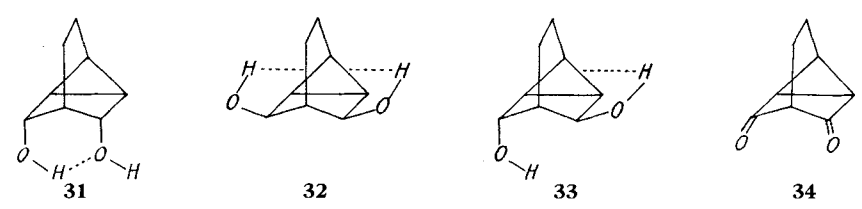
b) Intensitätsverhältnis der Banden für freie und assoziierte OH-Gruppen.

c) Intensität ca. 15% derjenigen der freien OH-Bande.

¹⁴⁾ A. A. Youssef, M. E. Baum & H. M. Walborsky, J. Amer. chem. Soc. 81, 4709 (1959). Nach H. L. Goering, R. W. Greiner & M. F. Sloan, *ibid. 83*, 1391 (1961), weist *exo*-(axial)-Bicyclo[3.2.1]octan-2-ol im 9 bis 10 μ Gebiet Banden bei 9,10, 9,20, 9,65 und 9,85 μ auf.

¹⁵) S. J. Angyal & R. J. Young, J. Amer. chem. Soc. 81, 5251, 5467 (1959).

auftreten. Alle drei Diole sollten zu ein und demselben 1,3-Diketon, dem Tricyclo- $[2,2,2,0^{2,6}]$ octan-3,5-dion (34), oxydierbar sein. Tatsächlich führte deren Behandlung mit Chrom-Schwefelsäure zum gleichen Diketon $C_8H_8O_2$ vom Smp. 91–92°, und



zwar im Falle der Diole B und F in praktisch quantitativer Ausbeute. Bei der Oxydation des Diols E, welches im Gemisch mit Diol D vorlag (Fraktion 4 von Tabelle 1), trat ausserdem die bereits erwähnte Ketosäure 17 auf. Das obige Diketon wurde von Permanganat-Lösung nicht angegriffen und lieferte ein Bis-2,4-dinitrophenylhydrazon.

Im Einklang mit der vermuteten Struktur 34 wies das IR.-Spektrum des Diketons in KBr scharfe Banden bei 3,28 und 3,33 μ auf, welche dem Cyclopropanring zugeordnet werden können und auch im Spektrum des entsprechenden Kohlenwasserstoffes, des Tricyclo[2,2,2,0.2.6]octans (34, H₂ statt O), auftreten 5). Zudem war die Carbonylbande in zwei ungleich starke Maxima bei 5,65 und 5,77 μ aufgespalten, wie bei Kupplung der Schwingung gleichwertiger Carbonylgruppen zu erwarten ist 16). Ferner zeigte das UV.-Spektrum des Diketons in Äthanol die für Cyclopropylketone erwartete 17) Absorption bei 195 m μ (log ε = 3,85), 218 m μ (log ε = 3,19) und 279 m μ (log ε = 1,82). Das NMR.-Spektrum des Diketons wies nur ein komplexes Multiplett mit Schwerpunkt δ = 2,5 ppm (Tetramethylsilan = 0) auf, was die Anwesenheit einer Doppelbindung ausschloss und die tricyclische Struktur 34 bestätigte.

Bei der Behandlung des Diketons 34 mit NaOH trat die bei einem β -Diketon zu erwartende Umwandlung in eine Ketosäure $C_8H_{10}O_3$ ein, welche als Bicyclo-[4,1,0]heptan-2-on-7-endo-carbonsäure (35) formuliert wird. Für diese Struktur spricht das Fehlen des Signals von Olefin-Protonen im NMR.-Spektrum, das IR.-Spektrum (Banden bei 5,74 und 5,87 μ), sowie das UV.-Spektrum ($\lambda c_2 H_5 OH 195 m \mu$ (log $\varepsilon = 3,60$)), welches mit jenem von Bicyclo[4,1,0]heptan-2-on 18) (35, H statt COOH) ($\lambda H_2 OH 100 m \mu$ (log E = 3,77) gut übereinstimmt. Die endo-Konfiguration der Carboxylgruppe in 35 folgt aus der tricyclischen Natur des Vorläufers und aus der Beobachtung, dass sich die endo- und exo-Norcaransäure 19) bzw. deren Äthylester (36, R = H bzw. C_2H_5) sogar bei 180° in Gegenwart von Natriumäthylat in Äthanol nicht ineinander umwandeln, wie durch besondere Versuche festgestellt wurde 20).

¹⁶⁾ R. N. Jones & C. Sandorfy, in A. Weissberger, "Technique of organic Chemistry", Bd. 9, 595 (1956).

¹⁷) R. H. EASTMAN, J. Amer. chem. Soc. 76, 4115 (1954), sowie W. W. KWIE, B. A. SHOULDERS & P. D. GARDNER, *ibid.* 84, 2268 (1962).

¹⁸) W. G. Dauben & G. H. Berezin, J. Amer. chem. Soc. 85, 468 (1963).

¹⁹⁾ P. S. Skell & R. M. Etter, Proc. chem. Soc. 1961, 443.

²⁰) Eine ähnliche Beobachtung machten neulich H. M. Walborsky, A. A. Youssef & J. M. Motes, J. Amer. chem. Soc. 84, 2465 (1962), bei einem Cyclopropylnitril.

Die Ketosäure 35 liess sich nicht durch Reduktion in die endo- oder exo-Norcaransäure (36, R = H) überführen. So nahmen Versuche zur Bildung des Thioketals, wie übrigens auch im Falle des Diketons 34, einen undurchsichtigen Verlauf. Bei der Reduktion der Ketosäure mit Hydrazin und Natriumäthylat nach KISHNER-Wolff entstand eine mit Norcaransäure isomere, ungesättigte Säure, welche bei der

Hydrierung Cyclohexylessigsäure lieferte und als Cyclohex-2-en-yl-essigsäure (37) formuliert wird. Dieses Resultat ist verständlich, wenn die Desaminierung des anionischen Zwischenproduktes der Kishner-Wolff-Reduktion²¹) den in 38 angedeuteten Verlauf nimmt unter Öffnung des Cyclopropanringes.

Die Zuordnung der drei Konfigurationen 31, 32 und 33 zu den drei stereoisomeren Diolen B, E und F erfolgte auf Grund ihrer IR.- und NMR.-Spektren. So wies das IR.-Spektrum des sorgfältig getrockneten Diols B eine starke, konzentrationsunabhängige OH-Bande auf, welche um 84 cm⁻¹ gegenüber derjenigen der freien OH-Bande verschoben war (Tab. 2) und eine starke intramolekulare Wasserstoffbrücke anzeigte. Eine solche ist nur möglich, wenn das Diol B die *endo-cis*-Konfiguration 31 besitzt. Zudem enthält das NMR.-Spektrum dieses Diols in D_2O zwei gleiche H-C-O-Protonen, was sich in einem Singlett mit $\delta = 4,05$ ppm äussert. Dieses Singlett erscheint auch im Spektrum des p-Nitrobenzylidenacetals 39 des Diols B^{22}), und zwar bei $\delta = 4,30$ ppm. Diol B wird daher als Tricyclo[2,2,2,0^{2,6}]octan-3,5-*endo-cis*-diol (31) formuliert.

Im IR.-Spektrum des Diols F war neben der starken Bande der freien OH-Gruppe eine sehr schwache, konzentrationsunabhängige Bande mit $\Delta \nu = 58~{\rm cm^{-1}}$ vorhanden (Tabelle 2), wie sie Schlever und Mitarbeiter 12) im IR.-Spektrum von Cyclopropylcarbinol (40) nachgewiesen und auf eine schwache intramolekulare Wasserstoffbrücke zwischen der OH-Gruppe und dem Cyclopropanring zurückgeführt haben. Da im NMR.-Spektrum des Diols F, wie im Falle des symmetrischen Diols B, zwei H-C-O-Protonen als einziges Singlett erscheinen und Diol F zugleich das polarste Diol darstellt, wird ihm die Konfiguration des Tricyclo[2,2,2,0 2,6] octan-3,5-exo-cis-diols (32) zugeschrieben. Dem dritten tricyclischen Diol, E, welches

²¹) H. H. Szmant et al., J. Amer. chem. Soc. 74, 2724 (1952).

²²) Als isolierte Tatsache wäre die Bildung des Ringacetals 39 kein Beweis für die Konfiguration 31 des Diols B, weil sich letzteres unter den sauren Bedingungen der Bildung isomerisieren könnte.

nicht in reiner Form isoliert werden konnte, kommt somit durch Ausschluss die Konfiguration des *rac.-trans*-Tricyclo[2, 2, 2, 0^{2, 6}]octan-3, 5-diols (33) zu.

Es ist bemerkenswert, dass die den Diolen A bis F zugeordneten Konfigurationen ihren Wanderungsgeschwindigkeiten im Dünnschicht- und Kieselgel-Chromatogramm (Tab. 1) entsprechen. Die am schnellsten wandernden Diole A und B weisen starke interne Wasserstoffbrücken auf und sind in allen organischen Lösungsmitteln löslich. Das am langsamsten wandernde Diol F neigt kaum mehr zu intramolekularer Wasserstoffbrücken-Bildung und weist die geringste Löslichkeit in organischen Lösungsmitteln auf, während die Diole C, D und E eine Mittelstellung einnehmen. Die sechs Diole sind in folgender Tabelle 3 zusammengestellt.

Tabelle 3. Diole $C_8H_{12}O_2$ aus den Dibromiden 6 und 7

- A Bicyclo[3,2,1]oct-6-en-2, 8-exo-diol (25).
- B Tricyclo[2,2,2,0 2,6]octan-3,5-endo-cis-diol (31).
- C Bicyclo[2,2,2]oct-5-en-2, 3-trans-diol (29)
- D Bicyclo[3,2,1]oct-6-en-2-exo-8-endo-diol (27).
- E Tricyclo $[2,2,2,0^{2,6}]$ octan-3,5-trans-diol (33).
- F Tricvclo[2,2,2,0^{2,6}]octan-3,5-exo-cis-diol (32).

Diskussion

Wie diese Versuche zeigen, entsteht bei der Hydrolyse der beiden Dibromide 6 und 7 vorerst ein einheitliches Diol B, und zwar unter Inversion eines Bromatoms im Falle von 6 und beider Bromatome im Falle von 7. In neutraler Lösung geht dieses Diol langsam, in saurer Lösung rasch in die isomeren Diole A, C, D, E und Füber. Diol B ist somit das auf Grund seiner Bildungsgeschwindigkeit bevorzugte, d. h. kinetisch kontrollierte Produkt und erfährt durch wiederholte Ionisierung eine Reihe von Homoallyl-Umlagerungen.

Die Bildung ein und desselben Diols B aus den Dibromiden 6 und 7 weist auf eine gemeinsame Vorstufe wie das *endo-5-Hydroxyhomoallyl-Ion II hin*, das ausschliesslich auf der *endo-Seite Wasser koodiniert*. Dasselbe gilt für das erste kationische Zwischenprodukt, ein Homoallyl-Ion wie I (R oder R' = Br bzw. H), welches durch Ionisierung der Dibromide 6 und 7 entsteht und in das Bromhydrin 41 (R oder R' = Br bzw. H) mit *endo-ständiger OH-Gruppe* übergeht.

Diese Stereoselektivität der Wasseranlagerung ist verständlich, wenn man die Geometrie mesomerer Homoallyl-Ionen mit Tricyclo[2,2,2,0²,6]octan-Gerüst wie I und II berücksichtigt. Wie Modelle zeigen, steht der Cyclopropanring in diesen tricyclischen Verbindungen angenähert senkrecht zum fast ebenen Fünfring. Der Dreiring wird daher von der Ebene des trigonalen kationischen Zentrums an C-3 oder C-5 unsymmetrisch geschnitten, so dass beispielsweise im Falle von II die Delokalisierung der C1–C2-Bindungselektronen in Richtung auf das ungesättigte Zentrum C-3 gemäss 42 weiter fortschreiten kann als die Delokalisierung der C2–C6-

$$BR$$
 BR
 BR
 BR
 AR
 AR

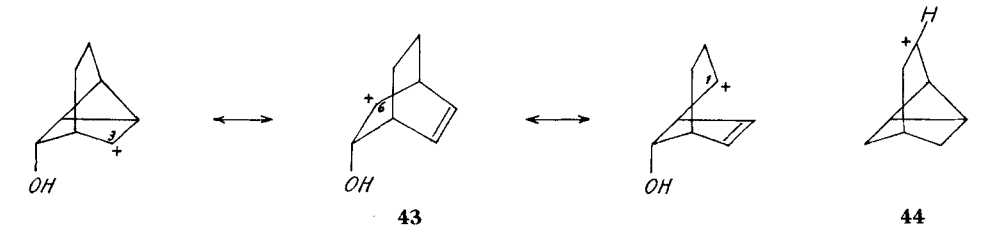
Bindungselektronen. Der Angriff des Nucleophils Wasser an C-3 erfolgt somit rascher auf der weniger verbrückten *endo-*Seite unter Bildung von Diol B. Möglicherweise übt auch eine bereits vorhandene *endo-*Hydroxylgruppe an C-5 durch

Bildung einer Wasserstoffbrücke mit der eintretenden Wassermolekel eine dirigierende Wirkung aus.

Homoallyl-Kationen wie I und II werden im folgenden als trizentrisch bezeichnet, weil sie drei elektrophil reaktive Stellen aufweisen, nämlich 1, 2 und 5 im Falle von I, und 1, 3 und 6 im Falle von II.

Die ausschliessliche Bildung von Diol B unter kinetischer Produktkontrolle kann auch mittels rasch ineinander umwandelbarer bizentrischer oder unsymmetrischer Homoallyl-Ionen²)³) vom Typus **10** a und **10** b (vgl. S. 2210) erklärt werden. Die symmetrischere, trizentrische Formulierung I bzw. II wird aber bevorzugt, weil sie eine einfachere Deutung der säurekatalysierten Isomerisierung von Diol B gestattet.

Nach dieser Auffassung führt die Ionisierung von Diol B in reversibler Weise zum trizentrischen Kation II, welches weniger häufig auf der exo-Seite von C-3 sowie an C-1 und C-6 von Wasser angegriffen wird. Dadurch entstehen Diol E, Diol D und Diol C (vgl. Schema S. 2218). Dies geht besonders klar aus einer Betrachtung der Grenzformeln 43 des mesomeren Kations II hervor. Reversible Ionisierung der 5-endo-OH-Gruppe im reaktiven, tricyclischen Diol E führt zum trizentrischen Homoallyl-Ion III mit einer 3-exo-OH-Gruppe, welches weniger häufig durch Koordinierung von Wasser auf der exo-Seite von C-5 bzw. an C-1 in das dritte tricyclische Diol F bzw. in Diol A übergeht. Diol G (Bicyclo[2,2,2]oct-5-en-2,3-exo-cisdiol), welches durch Reaktion des Kations III am elektrophilen Zentrum C-2 entstehen müsste, konnte im Diolgemisch nicht nachgewiesen werden ²³), geht aber möglicherweise bei der keineswegs quantitativen Isolierung der Diole verloren.



Der Umstand, dass 6 von 7 Folgeprodukten der trizentrischen Homoallyl-Kationen II und III isoliert werden konnten, spricht für den oben geschilderten Reaktionsverlauf. Doch kann das Auftreten von je zwei unsymmetrischen, bizentrischen Homoallyl-Ionen der Art $\mathbf{10}\,a$ und $\mathbf{10}\,b$ (R oder $\mathbf{R'}=\mathrm{OH}$ bzw. H) nicht ausgeschlossen werden.

In dieser Arbeit werden unsymmetrische und symmetrische Homoallyl-Kationen, wie sie von Winstein gemäss 4 und 5 formuliert werden³), nicht als die einzig möglichen Zustände betrachtet, sondern als Grenzfälle einer kontinuierlichen Reihe von Elektronenverteilungen. Der jeweils verwirklichte Zustand hängt von der Geometrie des Kations ab, welche somit die Reaktivität der elektrophilen Zentren mitbestimmt. Steht die Ebene des trigonalen Kohlenstoffatoms senkrecht zum

²³⁾ Für die Bildung von Diol G spricht, dass im Dünnschicht-Chromatogramm des Diolgemisches ausser der in Tabelle 1 aufgeführten Fraktionen ein weiterer, allerdings schwacher Fleck auftritt.

Cyclopropanring, wie im Falle des Nortricyclonium-Ions 5³) oder des z. Z. von uns untersuchten Kations 44⁵), dann liegt ein völlig symmetrisches, trizentrisches Homoallyl-Ion vor. Verläuft die Ebene des trigonalen Kohlenstoffatoms durch eine Kante des Dreiringes, so liegt ein unsymmetrisches, bizentrisches Homoallyl-Ion vor. Zwischen diesen Grenzfällen gibt es Zustände, bei welchen die Ebene des trigonalen Kohlenstoffatoms den Cyclopropanring unsymmetrisch schneidet und eine ungleichmässige Delokalisation dessen Bindungselektronen hervorruft, wie es im Falle der Homoallyl-Ionen II und III postuliert wird.

Es sei noch erwähnt, dass bei Annahme klassischer Carbonium-Ionen als Zwischenprodukte der Homoallyl-Umlagerung von Diol B sich die Zahl der kationischen Zwischenprodukte auf sechs erhöht, nämlich drei Ionen der Struktur 43 sowie drei entsprechende Ionen mit exo-OH-Gruppen. Diese Carbonium-Ionen könnten zu insgesamt 10 Diolen der Strukturen 12, 13 und 14 führen 24), also drei mehr als im Falle der mesomeren Homoallyl-Ionen II und III, doch wurde keines der zusätzlichen Diole im Diolgemisch gefunden. Vor allem aber erklärt eine Folge klassischer Carbonium-Ionen wie 43 die bei α -Cyclopropylcarbinyl-Derivaten 1 beobachtete Erhöhung der Ionisierungsgeschwindigkeit 2) 3) nicht, denn in diesen Ionen kann das Elektronendefizit nicht auf mehrere Atomzentren verteilt werden, wie im Falle mesomerer Homoallyl- und Allyl-Kationen, welche dadurch eine besondere Stabilisierung erfahren.

Wir danken der CIBA AKTIENGESELLSCHAFT, Basel, für einen Forschungskredit, den Herren Dr. A. Gagneux und Dr. P. Schiess für die Aufnahme der NMR.-Spektren und deren Interpretation.

Experimenteller Teil

Die Smp. (Kofler-Block) sind korrigiert (Fehlergrenze \pm 1°); bei flüchtigen Substanzen wurden sie in verschlossenen Kapillaren bestimmt.

Gas-chromatographische Analysen wurden in der beschriebenen Weise⁵) ausgeführt. Die Platten für Dünnschicht-Chromatogramme (DC) wurden mit einem Desaga-Apparat mit Kieselgel G «Merck» (Schichtdicke 0,25 mm) nach Stahl ²⁵) bereitet, 15 Min. an der Luft vorgetrocknet, darauf 1 Std. bei 110° gehalten und über Calciumchlorid aufbewahrt. Die Substanzproben wurden 1,5 cm vom Plattenrand aufgetragen, und zwar 10 γ zur Bestimmung der Rf-Werte von Reinsubstanzen, 50 γ bei Gemisch- und Reinheits-Prüfungen. Nach dem Entwickeln mit Chloroform-Isopropanol 7:3 wurden die Platten an der Luft getrocknet und die Flecke durch Besprühen mit 20-proz. p-Toluolsulfonsäure-Lösung in Alkohol und 15 Min. Erhitzen auf 160° sichtbar gemacht. Die Säulenchromatographie an Kieselgel erfolgte nach der Methode von Duncan⁶) unter Verwendung von nach Reichstein et al. ²⁶) normierten Chromatographieröhren und automatischen Fraktionssammlern.

Die IR.-Spektren wurden mit einem Perkin-Elmer Spektrophotometer Modell 21 mit Calciumfluorid-Prisma in abs. Tetrachlorkohlenstoff aufgenommen. Zum Nachweis der Wasserstoffbrücken wurden $4\cdot 10^{-3}$ und $1\cdot 10^{-3}$ m Lösungen in 4-cm- und 1-cm-Quarz-Zellen verwendet. War die Löslichkeit geringer als $4\cdot 10^{-3}$ m, so wurden gesättigte Lösungen in Tetrachlorkohlenstoff auf das vierfache Volumen verdünnt. Die Bestimmung der Frequenzverschiebung $\Delta \nu$ erfolgte jeweils anhand des Spektrums der verdünnteren Lösung.

Die UV.-Spektren wurden mit einem modifizierten Beckman UV.-Spektrophotometer Modell DK-2, welcher noch Messungen bei 190 m μ erlaubt, aufgenommen.

Hydrolyse der tricyclischen Dibromide 6 und 7. - a) Unter Zusatz von Triäthylamin. Eine Lösung von 1,02 g (3,84 mMol) Dibromidgemisch in 21 ml Aceton und 14 ml Wasser wurde mit

²⁴) Nämlich je drei der Struktur 12 und 13 sowie vier der Struktur 14.

²⁵) E. STAHL, «Dünnschicht-Chromatographie», Springer Verlag 1962.

²⁶) H. HEGEDÜS, CH. TAMM & T. REICHSTEIN, Helv. 36, 357 (1953).

860 mg (8,5 mMol) frisch destilliertem Triäthylamin versetzt und auf 70° erwärmt. Nach 30 Min. wurden dem Reaktionsgemisch 2 Proben von 1 ml entnommen. Die erste Probe wurde nach Abdampfen des Acetons im Vakuum unterhalb 20° mit 2 ml einer 20-proz. Natriumchloridlösung versetzt und mehrmals mit Methylenchlorid extrahiert. Die kombinierten Methylenchloridlösungen wurden mit gesättigter Natriumchloridlösung neutralgewaschen, über Natriumsulfat getrocknet und eingedampft. Der wachsartige Rückstand (11 mg. 79% bezogen auf $C_8H_{12}O_2$) zeigte im DC einen einzigen Fleck und war auf Grund des Rf-Wertes und des IR.-Spektrums mit Diol B identisch. Bei der Oxydation mit Chrom-Schwefelsäure wurde in 81-proz. Ausbeute das Diketon 34 erhalten, Smp. 91–92°, Misch-Smp. mit authentischer Probe 91–92°. Das Bis-2,4-dinitrophenylhydrazon, Smp. 240–243°, gab mit einer authentischen Probe keine Depression. – Die zweite Probe wurde mit 0,25 ml 1 N Salzsäure (entsprechend der vorhandenen Menge Triäthylamin) versetzt, weitere 30 Min. bei 70° gehalten und wie Probe 1 aufgearbeitet. Das DC zeigte 5 Flecke gemäss Tabelle 1. Wurden dem obigen Reaktionsgemisch nach 1, 3, 8 und 24 Std. weitere Proben entnommen und wie oben aufgearbeitet, so erschienen 4 neue Flecke, die mit zunehmender Reaktionsdauer an Intensität zunahmen, während diejenige des ursprünglichen Fleckes von Diol B abnahm.

b) Ohne Zusatz von Triäthylamin. Eine Lösung von 2,66 g (10 mMol) Dibromidgemisch in 56 ml Aceton und 37 ml Wasser wurde auf 70° erwärmt. Nach 30 Min. wurde das Reaktionsgemisch in zwei gleiche Teile geteilt, der eine sogleich aufgearbeitet, der andere erst nach weiteren 24 Std. bei 70°. Der erste Teil der Lösung wurde mit 5 ml 2n Natronlauge (2 Moläquivalente) neutralisiert, nach dem Abdampfen des Acetons im Vakuum unterhalb 20° mit Natriumchlorid gesättigt und wiederholt mit Methylenchlorid extrahiert. Die über Natriumsulfat getrockneten Extrakte hinterliessen nach dem Eindampfen 258 mg (92%) des früher beschriebenen⁴), etwas hygroskopischen Diolgemisches $\rm C_8H_{12}O_2$, das bei 0,01 Torr und 100° ohne Rückstand sublimierbar war. Das DC zeigte 5 Flecke und war mit dem DC der gleich aufgearbeiteten zweiten Hälfte des Reaktionsgemisches identisch.

Die Mikrohydrierung von 7,913 mg (0,056 mMol) des Diolgemisches $C_8H_{12}O_2$ mit Platin (aus 15 mg Platinoxid) in Eisessig blieb nach Aufnahme von 0,65 ml Wasserstoff (Normalbedingungen) innert 4 Min. stehen, was einem Gehalt an olefinischen Diolen von 51% entspricht.

Bei der Behandlung des obigen Diolgemisches mit Perjodsäure in 80-proz. wässeriger Essigsäure nach SIGGIA⁷) bei 20° im Dunkeln wurde nach 5 Std. kein nennenswerter Verbrauch an Perjodsäure festgestellt. Das zurückgewonnene Diolgemisch zeigte im DC die ursprüngliche Zusammensetzung.

Präparative Trennung des Diolgemisches an Kieselgel⁶). 750 mg des wie oben ohne Zusatz von Triäthylamin hergestellten Diolgemisches wurden bei 12° an 750 g Kieselgel (Merck, Korngrösse 0,05–0,2) mit Chloroform-Isopropanol-Gemischen bei einer Durchlaufgeschwindigkeit von

Fraktions- Nummer	Chf-i-Pr	Isoliert mg	Vorko mg	ommen ^a) %	Smp.b)	Diol
45- 55	9:1	57	64	9,5	hygr. 199–204° (Zers.)	A
56- 59		14				
60- 73		194	201	30	hygr. 228–229° c)	В
74-103		leer				
104-116	7:3 d)	90	101	15	237-239°	С
117-121	,	21				
122-126		143	159	24	234-235° e)	D, E
127-128		12			,	
129-150		140	146	21,5	203–205°	\mathbf{F}
	Tot	al 671				

a) Geschätzt aus Elutionskurve.

b) Smp. nach Kristallisation aus Acetonitril.

c) Smp. des Bis-3, 5-dinitrobenzoates.

d) Das Verhältnis wurde bei Fraktion 95 gewechselt.

e) Smp. von D nach Entfernen von E.

60 ml pro Std. und unter Entnahme von 30-ml-Fraktionen mit folgendem Ergebnis chromatographiert (s. Tabelle auf S. 2221).

Diol A (Bicyclo[3,2,1]oct-6-en-2,8-exo-diol, **25**) lieferte aus Acetonitril hygroskopische Kristalle, Smp. 199-204° (Zers.), deren Analyse zu tiefe C-Werte ergab.

Das ebenfalls stark hygroskopische *Diol B* (Tricyclo[2,2,2,0^{2,6}]octan-3,5-endo-cis-diol, **31**) war amorph und wurde durch Umfällen aus abs. Äther und anschliessende Sublimation gereinigt. Es wurde als *Bis-3,5-dinitrobenzoat*, Smp. 228–229°. charakterisiert.

 $C_{22}H_{16}O_{12}N_4$ (528,40) Ber. C 50,01 H 3,05 N 10,60% Gef. C 50,05 H 3,08 N 10,35% Diole C (29), D (27) und F (32).

C₈H₁₂O₂ (140,18) Ber. C 68,54 H 8,63%

Diol C (Bicyclo[2,2,2]oct-5-en-2, 3-trans-diol) Gef. C 68,31 H 8,60%.

Diol D (Bicyclo[3,2,1]oct-6-en-2-exo-8-endo-diol Gef. C 68,75 H 8,71%.

Diol F (Tricyclo[2,2,2,0^{2,6}]octan-3, 5-exo-cis-diol) Gef. C 68,64 H 8,74%.

IR.-Spektren. Die ungesättigten Diole D (27), C (29) und A (25) wiesen die für cis-Olefine charakteristische Bande bei 3,28 μ auf (KBr-Pille), sowie starke Banden bei 13,81 μ (Diol D), 14,05 μ (Diol C) und 14,08 μ (Diol A). Diese Banden waren in den entsprechenden Dihydrodiolen nicht mehr vorhanden. Die tricyclischen Diole F und B wiesen die für Cyclopropanringe charakteristische Bande der C-H-Streckschwingung bei 3,31 μ (KBr-Pille) auf.

Hydrierung der Diole. Die Diole B (31) und F (32) nahmen über Platin in Äthanol keinen Wasserstoff auf, Diol A (25) 95% der ber. Menge, unter Bildung von Dihydrodiol A (Bicyclo[3,2,1]-octan-2,8-exo-diol, 20), aus Acetonitril Nadeln, Smp. 259–261°. Dieses war identisch mit dem weiter unten beschriebenen Umlagerungsprodukt aus Bicyclo[2,2,2]octen-2, 3-epoxid (22).

Bei der Hydrierung von Diol C über Platin in Äthanol wurden 94% der ber. Menge Wasserstoff aufgenommen: *Dihydrodiol C* (Bicyclo[2,2,2]octan-2, 3-trans-diol, **23**). Aus Acetonitril Nadeln, Smp. 278–279°. Dieses war identisch mit dem weiter unten beschriebenen Ringöffnungsprodukt aus Bicyclo[2,2,2]octen-2, 3-epoxid (**22**).

Bei der Hydricrung der die Diole D (27) und E (33) enthaltenden Fraktion wurden nur 89% der ber. Menge Wasserstoff aufgenommen. Aus dem Gemisch des *Dihydrodiols D* und des unveränderten Diols E wurde ersteres durch wiederholte Kristallisation aus Acetonitril in einheitlicher Form abgetrennt. Aus Acetonitril Nadeln, Smp. 263–266°.

```
C<sub>8</sub>H<sub>14</sub>O<sub>2</sub> (142,18) Ber. C 67,57 H 9,93%
```

Dihydrodiol A Gef. C 67,31 H 9,80%. Dihydrodiol C Gef. C 67,43 H 9,72%.

Dihydrodiol D Gef. C 67,74 H 10,12%.

p-Nitrobenzyliden-acetal von Dihydrodiol A (26). 142 mg (1 mMol) Dihydrodiol A, 151 mg (1 mMol) frisch sublimierter p-Nitrobenzaldehyd und 2 mg p-Toluolsulfonsäure wurden in 5 ml trockenem o-Xylol im Ölbad zum Sieden erhitzt und allmählich ca. 4ml des Lösungsmittels abdestilliert. Der Rest wurde im Vakuum entfernt, der ölige Rückstand in 1 ml Benzol aufgenommen und an 8 g Alox (Woelm, basisch, Aktivität 1) chromatographiert. Mit 200 ml Benzol wurden 256 mg (93%) des reinen Acetals eluiert. Aus Pentan dünne Blättchen, Smp. 90–92°. Das unter Pentan unbeschränkt haltbare Acetal zersetzt sich im trockenen Zustand unter Verfärbung, kann aber durch Chromatographie wieder gereinigt werden. Das NMR.-Spektrum dieses Acetals weist das Singlett eines Acetal-methin-Protons mit $\delta = 6,04$ ppm auf.

```
C_{15}H_{17}O_4N (275,29) Ber. C 65,44 H 6,22 N 5,09% Gef. C 65,52 H 6,30 N 5,37%
```

Spaltung des Acetals (26). 105 mg (0,38 mMol) des obigen Acetals wurden nach Walborsky & Longrini 105 mg 2,4-Dinitrophenylhydrazin in 1,5 ml konz. Schwefelsäure, 3 ml Wasser und 3 ml Alkohol 30 Min. auf dem Dampfbad erhitzt und das ausgeschiedene Hydrazon durch Filtration entfernt. Das Filtrat wurde mit Natriumcarbonat neutralisiert, mit Natriumchlorid gesättigt und 6mal mit 4 ml Methylenchlorid extrahiert. Die kombinierten Extrakte wurden nach dem Trocknen über Natriumsulfat eingedampft und der Rückstand bei 13 Torr von 100° nach 13° sublimiert. Das Sublimat (31 mg, 58%) war nach Kristallisation aus Acetonitril auf Grund des Misch-Smp. und IR.-Spektrums mit Dihydrodiol A identisch.

p-Nitrobenzyliden-acetal von Diol B (39). Dieses wurde in analoger Weise aus 140 mg (1 mMol) Diol und 151 mg (1 mMol) p-Nitrobenzaldehyd in 50% (136 mg) Ausbeute hergestellt. Nach Kri-

stallisation aus Petroläther, Smp. 138–139°. Das NMR.-Spektrum dieses Acetals ist durch das Singlett des einen Acetal-methin-Protons mit $\delta=6,42$ ppm sowie durch ein Singlett für 2H–C–O-Protonen bei $\delta=4,30$ ppm charakterisiert.

 $C_{15}H_{15}O_4N$ (273,28) Ber. C 65,92 H 5,53 N 5,13% Gef. C 65,67 H 5,71 N 5,24%

Oxydation der ungesättigten Diole D (27), C (29) und A (25) mit Mangandioxid. Jeweils 28 mg (0,2 mMol) der obigen Diole in 5 ml Methylenchlorid wurden 2 Std. mit 400 mg Mangandioxid 27) bei 20° geschüttelt, die Lösung filtriert, der Filterrückstand 2mal mit Methanol aufgekocht und abermals filtriert. Nach Trocknen über Natriumsulfat und Eindampfen der vereinigten Filtrate blieben 12–15 mg einer wachsartigen Substanz zurück, welche im IR. sowohl Hydroxyl- als auch Carbonyl-Absorption zeigte, im UV. aber keine Banden einer α,β -ungesättigten Carbonylverbindung zwischen 220 und 250 m μ aufwies. Wie neuerdings festgestellt wurde 28), werden cyclische sekundäre Alkohole durch Mangandioxid weitgehend oxydiert.

Oxydation von Dihydrodiol D (28) und Dihydrodiol A (20). Die verwendete Chrom-Schwefelsäure⁸) wurde durch Versetzen von 26,72 g Chromtrioxid mit 23 ml konz. Schwefelsäure und Verdünnen mit Wasser auf ein Volumen von 100 ml hergestellt. 142 mg (1 mMol) Dihydrodiol in 8 ml stabilisiertem Aceton (0,01 mMol) wurden tropfenweise mit 0,55 ml der obigen Chrom-Schwefelsäure (1,1 Äquiv.) im Laufe von 5 Min. bei 0° versetzt. Nach weiteren 5 Min. bei 0° wurde der Überschuss an Oxydationsmittel mit wenig Methanol zerstört, die ausgeschiedenen Chromsalze abfiltriert und mit Aceton gewaschen. Das Filtrat wurde im Vakuum unterhalb 20° eingedampft, der Rückstand in Methylenchlorid aufgenommen und dieses mit wenig gesättigter Natrium-chloridlösung und anschliessend mit 5-proz. Kaliumhydrogencarbonat-Lösung extrahiert. Eindampfen der Methylenchloridlösung lieferte 58 mg (42%) des kristallinen Diketons 15 ($\lambda_{\max}^{\text{CH}_{\text{E}}Cl_{\text{B}}}$ 5,70 und 5,86 μ), welches sich beim Stehen unter Feuchtigkeitszutritt oder in wasserhaltigen Lösungsmitteln (z. B. feuchter Äther) in die nachfolgend beschriebene Ketosäure 17 umwandelte.

Obiger Kaliumhydrogencarbonat-Extrakt wurde mit 2n Salsäure auf Kongo angesäuert, die Lösung mit Natriumchlorid gesättigt und mit Methylenchlorid extrahiert. Trocknen und Eindampfen der Methylenchloridlösung im Vakuum ergab 61 mg (39%) der öligen Ketosäure 17, welche nach Destillation im Kugelrohr bei 0,01 Torr und 160° kristallisierte. Aus Petroläther dünne Blättchen, Smp. $58-59^{\circ}$, $\lambda_{\max}^{CS_8}$ 5,88 μ . Die Ketosäure 17 war auf Grund des IR.-Spektrums und des Misch-Smp. identisch mit der unten beschriebenen Cycloheptan-4-on-carbonsäure.

C₈H₁₂O₃ (156,17) Ber. C 61,51 · H 7,74% Gef. C 61,38 · H 7,85%

Das Semicarbazon fiel aus Essigsäure-Acetonitril mikrokristallin aus, Smp. 187°.

 $C_9H_{15}O_3N_3$ (213,23) Ber. C 50,69 H 7,09 N 19,71% Gef. C 50,75 H 7,30 N 19,74%

Eine analoge Oxydation der Dihydrodiole, bei welcher die Aufarbeitung bei -10° erfolgte, ergab 78% Diketon 15) neben 9% Ketosäure 17.

Wurde bei der obigen Oxydation 2n Kaliumcarbonatlösung zur Extraktion der Säure verwendet, so wurde ausschliesslich die Ketosäure 17 erhalten.

Cycloheptan-4-on-carbonsäure (17). Eine Suspension von 131 mg (0,87 mMol) Cycloheptatrien-4-on-carbonsäure (18) ²⁸) in 10 ml abs. Äthanol wurde mit 13 mg 10-proz. Palladium-Kohle unter normalen Bedingungen hydriert, wobei die Substanz ganz in Lösung ging. Nach Aufnahme von 3 Mol-äquiv. Wasserstoff (5,5 Std.) wurde filtriert und im Vakuum eingedampft. Nach Destillation im Kugelrohr bei 0,01 Torr und 160° kristallisierte die Ketosäure 17 aus Petroläther; Smp. 58–59. Mit Platin in abs. Äthanol kam die Hydrierung ebenfalls nach Aufnahme von nur 3 Mol-äquiv. Wasserstoff zum Stillstand.

Semicarbazon aus Essigsäure-Acetonitril, Smp. 186-187°.

Oxydation von Dihydrodiol C (23). 71 mg (0,5 mMol) Dihydrodiol C in 4 ml Aceton wurden wie oben beschrieben mit 0,30 ml der Chrom-Schwefelsäurelösung oxydiert. Die Aufarbeitung des Hydrogencarbonatextraktes lieferte 70 mg (81%) cis-Cyclohexan-1,4-dicarbonsäure. Aus Methylenchlorid längliche Prismen vom Smp. 169–170°, ohne Smp.-Depression mit nach Alder et al. ²⁹) hergestellten authentischen Probe.

$$C_8H_{12}O_4$$
 (172,17) Ber. C 55,80 H 7,03% Gef. C 55,85 H 7,20%

²⁷) J. Attenburrow et al., J. chem. Soc. 1952, 1094.

²⁸) K. Mislow & J. G. Berger, J. Amer. chem. Soc. 84, 1956 (1962).

²⁹) K. Alder et al., Liebigs Ann. Chem. 593, 23 (1955).

Oxydation von Dihydrodiol C (23) mit Perjodsäure. Diese erfolgte genau nach den Angaben von Angyal & Young 15) in einer Pufferlösung bei pH 2,12 bei einer Temperatur von 80° (\pm 2°). Die graphisch ermittelte Reaktionsgeschwindigkeitskonstante zweiter Ordnung betrug 2,6 Mol⁻¹ 1 Min.⁻¹ (\pm 0,5).

Dihydrodiol C (23) und Dihydrodiol A (20) aus Bicyclo[2,2,2] oct-2-en (21). 1,24g (11,5 mMol) Bicycloocten⁵) in 7,5 ml Äther und 5 ml Ameisensäure wurden nach der Vorschrift von Walвокsку & Loncrini¹¹) mit 1,87 g 30-proz. Wasserstoffperoxid oxydiert. Statt mit äthanolischer Kalilauge wurden die Ameisensäureester wie folgt mit Lithiumaluminiumhydrid gespalten: Das getrocknete ölige Rohprodukt (2,15 g) wurde in 20 ml abs. Äther gelöst und unter Rühren zu 500 mg Lithiumaluminiumhydrid in 30 ml abs. Äther derart zugetropft, dass leichter Rückfluss anhielt. Nach 10stdg. Sieden wurde mit 1 ml Wasser und 0,8 ml 10-proz. Natronlauge versetzt und 8 Std. bei Zimmertemperatur gerührt. Der anorganische Niederschlag wurde abfiltriert und mehrmals mit warmem Äther gewaschen. Eindampfen der vereinigten Ätherextrakte lieferte 1,37 g eines bei 13 Torr von 130° nach 12° ohne Rückstand sublimierbaren kristallinen Gemisches, welches sich durch Kristallisation nicht auftrennen liess und auf Grund des DC aus 3 Hauptkomponenten bestand. 1,350 g dieses Gemisches wurden bei 28° an 1,3 kg Kieselgel mit Chloroform-Isopropanol (7:3) bei einer Durchlaufgeschwindigkeit von 50 ml pro Std. chromatographiert. Die Fraktionen Nr. 16-24 (544 mg, 47%) bestanden aus Dihydrodiol A (20), aus Acetonitril Smp. 259-261°. Die Fraktionen Nr. 27-29 (282 mg, 23%) bestanden aus Dihydrodiol C (23), aus Acetonitril Smp. 278-279°. Nach einer Zwischenfraktion (Nr. 30-33, 121 mg) lieferten die Fraktionen Nr. 34-42 (272 mg, 20%) eine unbekannte Verbindung der Zusammensetzung C_eH₁₄O_e; aus Acetonitril Smp. 299-301°.

$$C_8H_{14}O_3$$
 (158,19) Ber. C 60,74 H 8,92% Gef. C 60,77 H 9,04%

Auf Grund des NMR.-Spektrums in D₂O (Multiplett für 8 C–H-Protonen zwischen $\delta=1,12$ und 2,60 ppm, Multiplett für 3 H–C–O-Protonen mit $\delta=3,95$ ppm) handelt es sich um ein bicyclisches Triol, was ebenfalls durch das NMR.-Spektrum des Acetylderivates in CS₂ bestätigt wird (Singlett bei $\delta=1,90$ und 1,98 ppm entsprechend 3 bzw. 6 Acetylprotonen innerhalb eines Multipletts zwischen $\delta=1,2$ und 2,75 ppm für insgesamt 17 C–H-Protonen; Multiplett bei $\delta=4,6$ ppm für 3 H–C–O-Protonen).

Oxydation der tricyclischen Diole B (31), E (33) und F (32) zu Tricyclo $[2,2,2,0^{2.6}]$ octan-2,6-dion (34). Je 140 mg (1 mMol) der Diole B und F in 8 ml Aceton wurden mit 0,55 ml der oben beschriebenen Chrom-Schwefelsäurelösung bei 0° während 10 Min. stehengelassen. Nach Zerstörung des Überschusses an Oxydationsmittel mit wenig Methanol wurde in gleicher Weise aufgearbeitet.

Diol F lieferte 121 mg (89%), Diol B 115 mg (85%) des rohen kristallinen Diketons **34**, welches nach der Sublimation bei 12 Torr von 100° nach 12° jeweils durch Chromatographie an 4 g Alox (Woelm, neutral, Aktivität I) und Elution mit Methylenchlorid von geringen Mengen Alkohol befreit wurde. Das Diketon **34** entfärbt Kaliumpermanganatlösung nicht. Aus Äther Dendriten, Smp. 91–92°. $\lambda_{\max}^{C_2H_5OH}$ 195 m μ (log ε = 3,85), 218 m μ (log ε = 3,19), 279 m μ (log ε = 1,82). λ_{\max}^{CCI} (ν C=O) 5,65 μ (schw.) und 5,77 μ (stark); λ_{\max}^{KBr} 3,38 und 3,33 μ (Cyclopropan-CH).

$$C_8H_8O_2$$
 (136,14) Ber. C 70,57 H 5,92% Gef. C 70,59 H 6,03%

Das Bis-2,4-dinitrophenylhydrazon wurde mit 2,4-Dinitrophenylhydrazin in äthanolischer Salzsäure bei 0° bereitet. Aus Benzol orange Mikrokristalle, Smp. 240–241°. $\lambda_{\rm max}^{\rm CHCl_3}$ 367 m μ (log $\varepsilon=4,65$).

$${\rm C_{20}H_{16}O_8N_8~(496,39)} \qquad {\rm Ber.~C~48,39~~H~3,25~~N~22,27\%} \qquad {\rm Gef.~C~48,51~~H~3,39~~N~22,52\%}$$

Bei der analogen Oxydation von 195 mg (1,4 mMol) der hydrierten Mischfraktion von Dihydrodiol D und Diol E verblieb jeweils nach Abtrennung der Ketosäure 17 mit verdünnter Natriumcarbonatlösung eine neutrale Fraktion, welche nach Chromatographie an Alox 17,5 mg (9,2%) des Diketons 34 ergab.

Alkalische Spaltung von Tricyclo[2,2,2,0^{2,6}]octan-3,5-dion (**34**) zur 2-Keto-norcaransäure (**35**). Eine Lösung von 40 mg (0,294 mMol) Diketon **34** in 5 ml 2 n Natronlauge wurde nach 2-stdg. Stehen bei 20° mit Methylenchlorid extrahiert und anschliessend mit 2 n Salzsäure auf Kongo angesäuert. Nach Sättigung der wässerigen Lösung mit Natriumchlorid wurde diese dreimal mit je 5 ml Methylenchlorid extrahiert. Die vereinigten Methylenchloridextrakte wurden mit gesät-

tigter Natriumchloridlösung neutral gewaschen und eingedampft. Der Rückstand, 43 mg (95%) eines farblosen Öls, kristallisierte aus Acetonitril in hexagonalen Prismen, Smp. 98–100°. $\lambda_{\max}^{C_8 H_5 OH}$ 195 m μ (log $\varepsilon = 3,60$), 280 m μ (log $\varepsilon = 1,50$). $\lambda_{\max}^{CH_2 Cl_2}$ 3,29 μ (Cyclopropyl–CH), 5,74 μ (Keton–CO), 5,87 μ (COOH).

$$C_8H_{10}O_3$$
 (154,16) Ber. C 62,32 H 6,54% Gef. C 62,48 H 6,63%

2,4-Dinitrophenylhydrazon: Aus Alkohol orange Mikrokristalle, Smp. 219–221°. $\lambda_{\text{max}}^{\text{CHCl}_{\mathbf{s}}}$ 368 m μ (log $\varepsilon=4,48$).

$$C_{14}H_{14}O_6N_4$$
 (334,28) Ber. C 50,30 H 4,22% Gef. C 50,53 H 4,41%

Reduktion von 2-Keto-norcaransäure (35) nach Wolff-Kishner. 100 mg (0,65 mMol) Ketosäure wurden mit der Lösung von 100 mg (4,4 mAtome) Natrium in 4 ml abs. Äthanol und 2 ml Hydrazinhydrat 24 Std. im Druckrohr auf 180° erhitzt. Nach Abkühlen auf -80° wurde das Glasrohr geöffnet, der Inhalt mit Wasser auf das doppelte Volumen verdünnt, mit 2n Salzsäure auf Kongo angesäuert, mit Natriumchlorid gesättigt und dreimal mit je 10 ml Methylenchlorid extrahiert. Die kombinierten Methylenchloridfraktionen wurden nach zweimaligem Waschen mit 5 ml einer Lösung von 20 g Natriumchlorid in 100 ml Wasser über Natriumsulfat getrocknet und eingedampft. Der Rückstand, 21 mg einer wasserhellen Flüssigkeit, wurde im Kugelrohr bei 12 Torr und 140° destilliert. Bei der Hydrierung in Eisessig über Platin wurde 0,75 Moläquiv. Wasserstoff (ber. auf $\rm C_8H_{12}O_2$) aufgenommen. Gas-Chromatographie des Hydrierungsproduktes an Carbowax 6000 auf Kieselgur (200° und 15 ml Helium/Min.) lieferte 2 ölige Substanzen im Verhältnis 4:1, welche beim Stehen kristallin erstarrten. Die grössere Fraktion stimmte nach Smp. (30–31°) und 1R.-Spektrum mit authentischer Cyclohexylessigsäure $\rm ^{30}$) überein.

Das S-Benzyl-thiuroniumsalz, aus Dioxan Smp. 165–166°, war ebenfalls auf Grund des Misch-Smp. und IR.-Spektrums identisch mit einer authentischen Probe.

SUMMARY

Hydrolysis of the *trans* and *exo-cis* forms of 3,5-dibromo-tricyclo[2,2,2,0^{2,6}]-octane, **6** and **7** respectively, proceeds at an enhanced rate and leads exclusively to tricyclo[2,2,2,0]^{2,6}]octane-3,5-endo-cis-diol (diol B, **31**). In the presence of acid, ca 70% of this kinetically controlled product is converted into five isomeric diols, *viz*. bicyclo[3,2,1]oct-6-ene-2,8-exo-diol (diol A, **25**), bicyclo[2,2,2]oct-5-ene-2,3- *trans*-diol (diol C, **29**), bicyclo[3,2,1]oct-6-ene-2-exo-8-endo-diol (diol D, **27**), tricyclo-[2,2,2,0^{2,6}]octane-3,5-trans-diol (diol E, **33**) and tricyclo[2,2,2,0^{2,6}]octane-3,5-exo-cis-diol (diol F, **32**).

Structure and configuration of these six diols are those predictable on the basis of two product-determining cationic intermediates, which are formulated as the three-centre-homoallylic ions II and III respectively. However, a mechanism involving four intermediate two-centre homoallylic cations ($\mathbf{10}\,a$ and $\mathbf{10}\,b$) cannot be excluded. The exclusive formation of the *endo-cis*-diol B under conditions of kinetic control is attributed to asymmetry in the three-centre cation II.

The dihydro derivatives of diol A (20) and C (23) were also obtained by acid hydrolysis of bicyclo[2,2,2]oct-2-ene epoxide (22). The β -diketone (bicyclo[3,2,1]-octane-2,8-dione, 15) produced upon oxidation of dihydro-diols A and D undergoes an extremely easy hydrolytic cleavage yielding cycloheptane-4-carboxylic acid (17).

Institut für Organische Chemie der Universität Basel

³⁰⁾ O. WALLACH, Liebigs Ann. Chem. 353, 284 (1907).